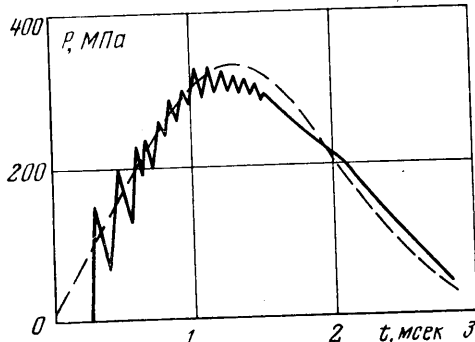


Сопротивление датчика составляло $20 \pm 1 \text{ ом}$. Он включался в мост, симметричный относительно измерительной диагонали и питаемый стабилизированным источником питания Б5-8, напряжения питания $E=3 \text{ в}$. Полезный сигнал датчика при давлении 100 мПа составляет $\sim 0.8 \text{ мв}$, этого недостаточно для регистрации осциллографом С1-18 из-за сильного микрофонного эффекта. Поэтому сигнал предварительно усиливался усилителем постоянного тока, выполненным на микросхеме К1УТ401Б. Входное сопротивление усилителя составляет 4 к ом , уровень шумов, приведенных ко входу, равен 20 $\mu\text{в}$, коэффициент усиления в необходимом интервале частот равен 50.



Фиг. 3

щая собой решение системы (1.1) при условиях (1.2). Рассчитанное максимальное давление выстрела $P_{\max}=340 \text{ мПа}$, измеренное ниже на 14 мПа , что составляет $\sim 5\%$ P_{\max} . Некоторое отличие процессов в начальной стадии обусловлено особенностью конструктивной схемы водомета. Водомет выполнен таким образом, что поршень разгоняется вместе с подвижным соплом и расположенной между ними водой, так что процесс начинается не с удара поршня по воде, а с остановки сопла, т. е. практически с удара воды по соплу.

Таким образом, экспериментально подтверждена допустимость квазистационарной постановки при расчете параметров выстрела импульсного водомета.

Амплитудная погрешность измерения определяется погрешностью аппаратуры (главную роль здесь играет температурная нестабильность), погрешностью образцового датчика, изменением чувствительности датчика в процессе эксплуатации и составляет $\sim 6\%$. Погрешность определения временных интервалов зависит только от нестабильности развертки осциллографа и равна 3%.

Осциллограмма, полученная при измерении давления в стволе водомета, имеющего значения критериев подобия $\alpha=0.67$ и $\beta=4.04$, и отношение $P_{\max}/P_y=16$, приведена на фиг. 3 сплошной линией. Пунктирной линией здесь дана расчетная зависимость, представляю-

Поступила 7 XII 1977

ЛИТЕРАТУРА

1. Атанов Г. А. Расчет параметров выстрела импульсного водомета. В сб. «Гидромеханика», вып. 22. Киев, «Наукова думка», 1972.
2. Атанов Г. А., Черников Г. А. Об оптимальном импульсном водомете. Изв. вузов, Энергетика, 1973, № 1.
3. Атанов Г. А. Расчет выстрела импульсного водомета с учетом волновых процессов. Изв. вузов, Энергетика, 1975, № 3.
4. Калер Р., Ройс Е. Ударные волны в конденсированных средах. В сб. «Физика высоких плотностей энергий». М., «Мир», 1974.
5. Харкевич А. А. Спектры и анализ. М., Физматгиз, 1963.

УДК 532.529

О ВОЛНОВОДНЫХ СВОЙСТВАХ ПОДВОДНОГО ГОРНОГО ХРЕБТА

В. М. БАБИЧ, И. Я. БИЛЫЙ

(Ленинград)

В 1957 г. М. А. Лаврентьев высказал предположение, что возвышение дна, которое условно будет далее называться горным хребтом, может служить волноводом для волн на поверхности воды. Это предположение было подтверждено экспериментально и теоретически обосновано в [1-3]. Здесь предлагается более простой вариант теории этого явления, основанный, с одной стороны, на работе [3], с другой — на теории слаг-

бонеоднородных волноводов [4–6]. Такое упрощение дает возможность продвинуться дальше в описании самого явления и провести, если потребуется, соответствующие расчеты, ибо все сводится к решению одномерных, легкодоступных современной вычислительной технике задач.

Будем исходить из известного уравнения для волн на мелкой воде

$$(1) \quad \frac{\partial^2 \eta}{\partial t^2} - g \left\{ \frac{\partial}{\partial x} \left(h \frac{\partial \eta}{\partial x} \right) + \frac{\partial}{\partial y} \left(h \frac{\partial \eta}{\partial y} \right) \right\} = 0$$

Здесь $h=h(x, y)$ – глубина, $\eta(x, y, t)$ – возвышение свободной поверхности воды над равновесным уровнем, g – ускорение свободного падения. Скорость распространения волн, описываемых уравнением (1), равна \sqrt{gh} ; таким образом, подводный горный хребет – это полоса с пониженной скоростью. Волноводные свойства таких полос хорошо известны, и для волн, бегущих вдоль подводного хребта, удается описать волновые пакеты. Здесь имеется в виду следующее. Распространение волны вдоль подводного хребта – нестационарный процесс. Чаще всего в результате того или иного воздействия возникает ограниченная группа волн (см. фигуру) с медленно меняющейся частотой и амплитудой (волны, модулированные по частоте и амплитуде) и весь этот волновой пакет с некоторой групповой скоростью распространяется по волноводу. Рассмотрение таких волновых пакетов естественное с физической точки зрения, чем более традиционное рассмотрение установившихся волновых процессов, зависимость которых от времени описывается множителем $\exp(-i\omega t)$. Математическое описание процесса распространения волновых пакетов составляет предмет пространственно-временной геометрической оптики [7, 8]. Данную работу можно рассматривать как пример приложения этой теории.

Считаем, что горный хребет расположен вдоль оси x и глубина $h=h(\varepsilon x, y)$ вдоль этой оси медленно меняется; ε – малый параметр, характеризующий медленность изменения формы хребта. Предполагаем, что $h(\xi, -\infty)=h(\xi, +\infty)$, $h(\xi, y)>0$ при любом y и при $y \rightarrow \pm\infty$ глубина достаточно быстро стремится к своему предельному значению. Так что горный хребет может иметь довольно произвольную форму.

Процесс возбуждения волны здесь не рассматривается. Пусть волна, бегущая над хребтом, сформировалась, и $\eta(x, y, t)$ имеет вид

$$(2) \quad \eta \sim \operatorname{Re} \left\{ \exp \left(i \frac{\psi(\xi, \tau)}{\varepsilon} \right) \sum_{j=0}^{\infty} u_j(\xi, y, \tau) (\varepsilon)^j \right\}, \quad \xi = \varepsilon x, \quad \tau = \varepsilon t$$

Вид решения (2) аналогичен пространственно-временным разложениям [6–9], где ξ и τ медленные переменные.

Подставляя выражение (2) в уравнение (1) и приравнивая нулю коэффициенты при последовательных степенях ε , получаем уравнения для u_j . В частности, для старшего члена разложения имеем

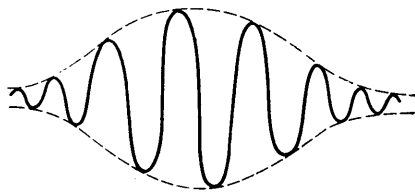
$$(3) \quad \frac{\partial}{\partial y} \left(h(\xi, y) \frac{\partial u_0}{\partial y} \right) - k^2 h(\xi, y) u_0 = - \frac{\omega^2}{g} u_0$$

$$k = - \frac{\partial \psi}{\partial \xi}, \quad \omega = \frac{\partial \psi}{\partial \tau}$$

Так как рассматривается волна, сосредоточенная в окрестности хребта, то ограничиваемся такими $u_0(\xi, y, \tau)$, для которых выполняется

$$(4) \quad u_0|_{y=\pm\infty} = 0$$

Сформулированная задача (3), (4) является задачей на собственные функции. Будем считать, что мгновенная частота ω играет роль собственного числа. Таким образом, по заданному k находим $\omega=\omega(k, \xi)$, которое всегда существует. Может оказаться, что одному k соответствует несколько $\omega(k, \xi)$. Тогда рассмотрим одну $\omega(k, \xi)$ из этого набора. Соответствующую собственную функцию запишем в виде



$$(5) \quad u_0(\xi, y, \tau) = c_0(\xi, \tau) V(\xi, k, y)$$

$$(6) \quad \int_{-\infty}^{+\infty} V^2(\xi, k, y) dy = 1$$

Существование для любого $k > 0$ гладко зависящей от ξ и k мгновенной частоты $\omega(k, \xi)$ и сходимость интеграла (6) при выполнении (4) требуют обоснования. Это обоснование можно провести, используя асимптотику на бесконечности решения уравнения (3) и вариационные соображения, аналогичные тем, которые приведены в [3].

Для нахождения функции ψ имеем следующее дисперсионное уравнение

$$(7) \quad \omega = \omega(k, \xi), \quad \partial\psi/\partial\tau = \omega(-\partial\psi/\partial\xi, \xi)$$

с начальным условием

$$(8) \quad \psi|_{\tau=0} = \psi_0(\xi)$$

Задача Коши (7), (8) решается методом характеристик, уравнения которых имеют вид

$$(9) \quad \frac{d\xi}{d\tau} = \frac{\partial\omega(\xi, k)}{\partial k}, \quad \frac{d\psi}{d\tau} = \omega - k \frac{\partial\omega}{\partial\xi}, \quad \frac{dk}{d\tau} = \frac{\partial\omega}{\partial\xi}, \quad \frac{d\omega}{d\tau} = 0$$

В соответствии с установленной терминологией, (см. [7-9]) характеристики уравнения (7) называем пространственно-временными лучами. Начальные условия для уравнений (9) определяются из (8). Производная $d\xi/d\tau = \partial\omega/\partial k$ будет групповой скоростью рассматриваемого волнового процесса. Найдем ее выражение из уравнения (3). Сначала умножим (3) на $-\partial V/\partial k$ и проинтегрируем обе части равенства от $-\infty$ до $+\infty$. Потом продифференцируем (3) по k , умножим на V и проинтегрируем обе части равенства от $-\infty$ до $+\infty$. Вычтем из первого равенства второе и получим

$$(10) \quad v = \frac{\partial\omega}{\partial k} = \frac{gk}{\omega} \int_{-\infty}^{+\infty} h(\xi, k) V^2 dy$$

Определение следующего члена разложения в (2) приводит к задаче

$$(11) \quad \begin{aligned} \frac{\partial}{\partial y} \left(h \frac{\partial u_1}{\partial y} \right) - k^2 h u_1 + \frac{\omega^2}{g} u_1 = \\ = \frac{1}{g} \left(\frac{\partial\omega}{\partial\tau} u_0 + 2\omega \frac{\partial u_0}{\partial\tau} \right) + 2hk \frac{\partial u_0}{\partial\xi} + u_0 \frac{\partial}{\partial\xi} (hk) \\ u_1(-\infty) = u_1(+\infty) = 0 \end{aligned}$$

Это задача типа Штурма – Лиувилля на промежутке $(-\infty, +\infty)$ для функции u_1 , причем соответствующая однородная задача (3), (4) имеет нетривиальное решение. Такая задача, вообще говоря, неразрешима. Для существования решения необходимо и достаточно, чтобы правая часть (11) была ортогональна V . Чтобы доказать необходимость, достаточно умножить обе части (11) на V и проинтегрировать от $-\infty$ до $+\infty$ по y . Поскольку интеграл слева обращается в нуль, получено уравнение для определения неизвестной функции c_0 , которое естественно назвать уравнением переноса

$$(12) \quad \frac{\omega}{g} \frac{\partial c_0^2}{\partial\tau} + k \int_{-\infty}^{+\infty} V^2 h dy \frac{\partial c_0^2}{\partial\xi} + c_0^2 \left[\frac{1}{g} \frac{\partial\omega}{\partial\tau} + \frac{\partial}{\partial\xi} \left(k \int_{-\infty}^{+\infty} h V^2 dy \right) \right] = 0$$

Соотношение (12) является обыкновенным дифференциальным уравнением вдоль пространственно-временного луча (см. уравнения (9)) и легко интегрируется. Объединяя первый и второй члены уравнения (12) и преобразуя третий, получим

$$(13) \quad \frac{\omega}{g} \frac{dc_0^2}{d\tau} + \frac{1}{J} \frac{\omega}{g} c_0^2 \frac{dJ}{d\tau} = 0, \quad J = \frac{\partial\xi}{\partial\xi_0}, \quad \xi_0 = \xi|_{\tau=0}$$

Из (13) получаем, что вдоль пространственно-временного луча
(14) $c_0 = A(\xi_0) J^{-\frac{1}{4}}$
Здесь $A(\xi_0)$ зависит от точки выхода луча и определяется начальным возмущением
 $c_0(\xi, \tau) |_{\tau=0} = A(\xi)$

Аналогично строятся и дальнейшие приближения. В заключение заметим, что и дисперсионное уравнение (3), и уравнение переноса (12) с меньшим количеством выкладок можно было бы получить с помощью усредненного вариационного принципа Уизема (см. [7, 8]).

Действительно, уравнение (1) можно записать в виде

$$(15) \quad \delta \int L dx dy dt = 0$$

$$L = \frac{1}{2} \left[gh \left(\frac{\partial \eta}{\partial x} \right)^2 + gh \left(\frac{\partial \eta}{\partial y} \right)^2 - \left(\frac{\partial \eta}{\partial t} \right)^2 \right]$$

Подставим в L главный член разложения (2), который имеет вид $u_0(\xi, \tau, y) \cos \theta$, где $\theta = \psi(\xi, \tau) e^{-i}$, и найдем главную часть L_0

$$L_0 = \frac{1}{2} \left[gh u_0^2 k^2 \sin^2 \theta + gh \left(\frac{\partial u_0}{\partial y} \right)^2 \cos^2 \theta - u_0^2 \omega^2 \sin^2 \theta \right]$$

$$\langle L_0 \rangle = \frac{1}{2\pi} \int_0^{2\pi} L_0 d\theta = \frac{1}{4} \left[gh u_0^2 k^2 + gh \left(\frac{\partial u_0}{\partial y} \right)^2 - u_0^2 \omega^2 \right]$$

Усредненный вариационный принцип состоит в том, что должна обращаться в нуль вариация

$$\delta \int \langle L_0 \rangle dx dy dt$$

Варьирование по u_0 и ψ приводит соответственно к дисперсионному соотношению $\omega = \omega(k, \xi)$ (см. (7)) и к энергетическому соотношению, эквивалентному равенствам (12) и (14).

Поступила 18 IV 1978

ЛИТЕРАТУРА

1. Лаврентьев М. А., Шабат Б. В. Проблемы гидродинамики и их математические модели. М., «Наука», 1973.
2. Сунь Дао. О волноводе поверхностных волн тяжелой жидкости. Изв. СО АН СССР, 1959, № 5.
3. Гарипов Р. М. Неустановившиеся волны над подводным хребтом. Докл. АН СССР, 1965, т. 161, № 3.
4. Покровский В. Л., Улинчик Ф. Р., Саввиных С. К. К теории волноводов переменного сечения. Радиотехника и электроника, 1959, т. 4, № 2.
5. Бабич В. М., Чихачев Б. А. Распространение волн Лява и Рэлея в слабонеоднородной слоистой среде. Вестн. ЛГУ, 1975, № 1, Матем., механ., астрон., вып. 1.
6. Woodhouse J. H. Surface waves in a laterally varying layered structure. Geophys. J. Roy. Astron. Soc., 1974, vol. 37, No. 3.
7. Уизем Дж. Линейные и нелинейные волны. М., «Мир», 1977.
8. Островский Л. А. Приближенные методы в теории нелинейных волн. Изв. вузов, Радиофизика, 1974, т. 17, № 4.
9. Волосов В. М. Нелинейные волны в неоднородных средах. В сб.: «Колебания нелинейных систем», Киев, 1976.